塩害劣化を受ける鉄筋コンクリート構造物の腐食ひび割れ幅による腐食量の推定

香川大学工学部 学生会員 〇釜本 拓哉 香川大学工学部 フェロー会員 松島 学 香川大学工学部 正会員 岡﨑 慎一郎

1. はじめに

鉄筋コンクリート構造は、コンクリートと鉄の複合形式であり、力学的のみならず耐久性的にも優れた形式である。日本に存在する数多くの社会資本ストックが鉄筋コンクリート製であり、今後も継続的に増加すると考えられる。この形式により建設された構造物は、メンテナンスフリーとされていたが、近年塩害などの劣化事例が報告され、維持管理の重要性が高まっている。

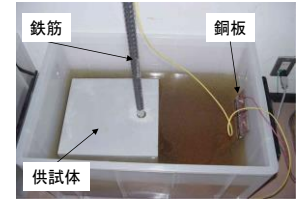
塩害劣化によって鉄筋が腐食すると,構造性能や耐久性が低下する.塩害劣化を受ける構造物の維持管理では,コンクリート表面に生じる腐食ひび割れ幅の大きさから鉄筋腐食量を推定することが現場で重要となっている.

2. 研究目的

電食実験の様子を図1に示す.試験体を塩水中に浸漬させ、電流を流し鉄筋を腐食させている.電食実験の結果を図2に示す.これにより、鉄筋腐食量と腐食ひび割れ幅には直線の関係があることが知られており、現在の補修基準は電食実験の結果に基づいて定められている.

電食実験は試験体を塩水中に浸漬させ、連続的に塩 化物を供給し、電流によって鉄筋全面を腐食させいる。 実環境での腐食は、構造物が置かれている環境によっ て、塩化物が非連続的に供給され、かぶりの大きさや コンクリートの品質によって腐食にとって厳しい環 境の箇所が局所的に腐食する。こういった点で電食実 験は実環境での腐食と異なり、電食実験の結果は実環 境での腐食とは異なると考えられる。

本研究はRC梁試験体を作成し実環境に近い環境で腐食を進行させ、その結果より腐食ひび割れ幅と腐食量の関係を求めることを目的としている.



5200 150

図1 電食実験の様子

図2 電食実験の結果

3. 塩害劣化促進試験

実環境に近い環境で腐食を進行させるために,湿潤 状態と乾燥状態を繰返す乾湿繰返しの環境で塩害劣 化促進試験を行う. 試験体寸法を図2に示す. 試験体 は実構造物を意識した大きさの RC 梁試験体を、主鉄 筋2本と3本のものを使用する. 図3に示すように実 験環境は実際の海洋環境を想定して 3 種類設定した. 実験環境①では海水を使用し試験体を浸漬させる期 間を 3.5 日間, 15℃の冷風にさらし乾燥させる期間を 3.5 日間繰返し、7日間を1サイクルとして腐食を進 行させた. 実験環境②では外気に暴露し乾燥させる. 実験環境③では湿潤状態に温水を使用し高温多湿の 状態にする期間と乾燥の期間を繰返す. 実験環境①は 実環境での干満帯に近い環境としており、実験環境③ は飛沫帯に近い環境を想定している. 塩害劣化促進試 験終了後, 載荷試験を行った後の試験体から鉄筋を取 り出し腐食量を計測した. 腐食ひび割れ幅は試験体の 端から 10cm 間隔で計測し、鉄筋取り出し位置の腐食 ひび割れ幅と鉄筋から計測した腐食量を用いて、腐食 量と腐食ひび割れ幅の関係を求めた.

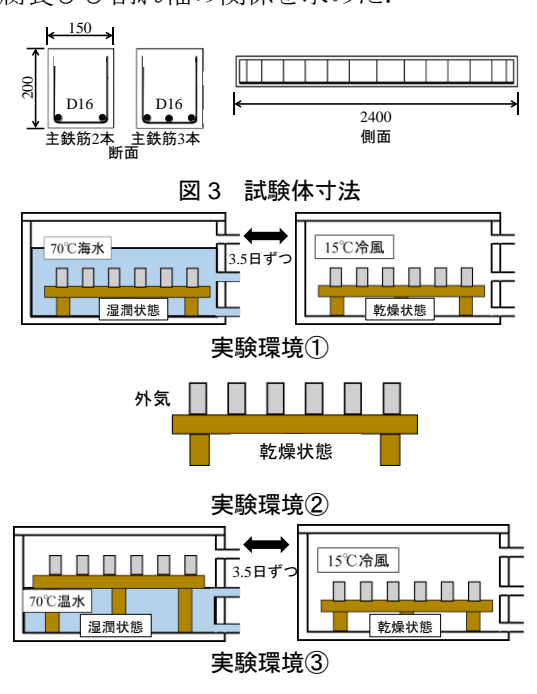
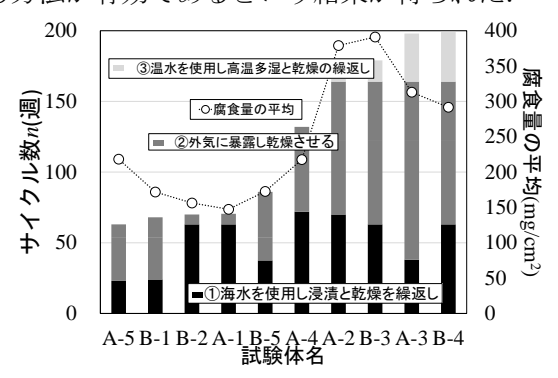


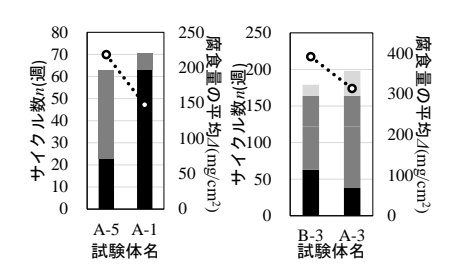
図4 実験環境

実験環境と腐食量の関係を図5に示す. サイクル数 と腐食量の間に相関がみられる.しかし、一部の試験 体ではサイクル数と腐食量に相関がみられないもの もある. 4つの試験体の実験結果を比較したものを図 6に示し、腐食量の大きさの影響因子を検討する. サ イクル数が大きい試験体の腐食量が、サイクル数の小 さい試験体の腐食量よりも小さくなっている原因と して実験環境①の期間の長さが考えられる. 実験環境 ①はこの試験の中で唯一塩分が供給される期間であ り,期間の長さを試験体に供給された塩分量とみなす ことができ、供給された塩分量の違いが腐食量の大き さに影響したと考えられる.

実験環境②が腐食に及ぼす影響の大きさを検討し た結果を図7に示す. 横軸に実験環境②の期間の長さ、 縦軸に腐食量の平均を示す. それぞれ実験環境①の期 間の長さ(塩分量)で正規化したものを使用した結果, 線形の関係がみられた. この検討の結果より腐食量の 大きさの影響因子として塩分量があげられ,様々な環 境にさらされたRC梁の塩分量の違いを考慮するには 腐食量の大きさと実験期間の長さを塩分量で正規化 する方法が有効であるという結果が得られた.



実験環境と腐食量 図 5



A-3 試験体と B-3 試験体の比較 図 6

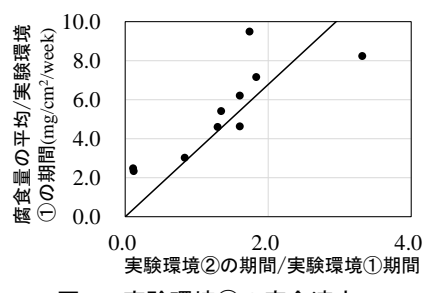


図7 実験環境②の腐食速度

乾湿因子 Pwd の提案

試験体を実環境である飛沫帯と干満帯に分類する ため、湿潤期間と乾燥期間の比に着目し、乾湿因子を 提案した. これは実験環境の湿潤期間の長さを乾燥期 間の長さで除したものであり、湿潤と乾燥の比を表わ している. 乾湿因子が 1.0 の場合, 湿潤期間と乾燥期 間の長さが等しく,実環境における干満帯中央部の環 境に相当し、0.0 の場合は湿潤期間が無としている. 0.3 から 0.7 あたりで傾向が変わっているので、本研 究ではその中間値である 0.5 を飛沫帯と干満帯のしき い値として設定し、0.5 より大きいと干満帯、小さい と飛沫帯として試験体を分類した. その結果を図8に 示す. 縦軸は腐食量の平均を塩分量で正規化したもの を使用しており、等価腐食速度を表わしている. 乾湿 因子が小さくなると等価腐食速度が大きくなる傾向 が見られ, 実環境で干満体よりも飛沫帯の腐食が厳し い事実と一致している.

5. 腐食ひび割れ幅による腐食量の推定式

環境ごとの腐食ひび割れ幅と腐食量の関係を図 9 に示す. 腐食量は腐食ひび割れ幅が 1.0mm 程度の大 きさになると、腐食ひび割れ幅との相関がなくなり、 頭打ちになった. この傾向を考慮し, 腐食ひび割れ幅 が増加すると腐食量が指数関数的に増加し、腐食ひび 割れ幅 1.0mm 程度で頭打ちになるような指数モデル 式で表わすことができた. 飛沫帯の指数モデル式を式 (1)に、干満帯の指数モデル式を式(2)に示す.

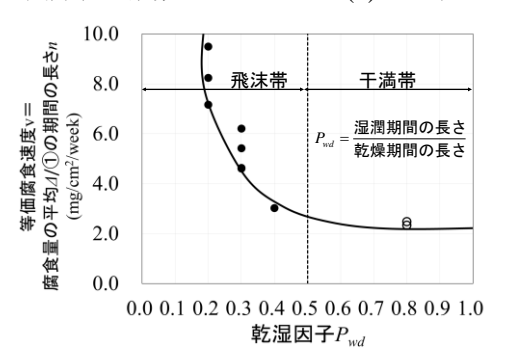
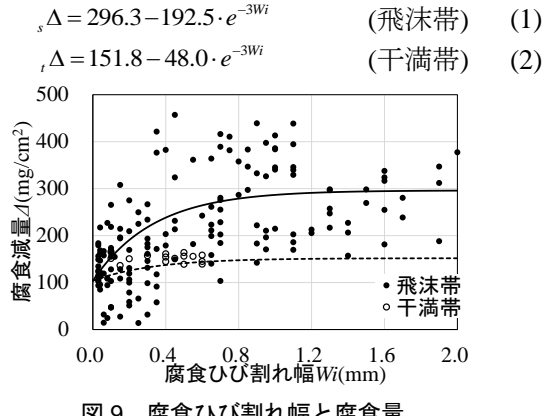


図8 乾湿因子



腐食ひび割れ幅と腐食量